

УДК 547.245.04:543.544(043):546.281.027\*29

## ИССЛЕДОВАНИЕ ПРИМЕСНОГО СОСТАВА СИЛАНА, ОБОГАЩЕННОГО ИЗОТОПОМ $^{29}\text{Si}$ , МЕТОДОМ ХРОМАТО-МАСС-СПЕКТРОМЕТРИИ

© А. Ю. Созин<sup>1</sup>, О. Ю. Чернова<sup>1</sup>, А. Д. Буланов<sup>1,2</sup>

*Статья поступила 26 января 2016 г.*

Методом хромато-масс-спектрометрии исследован примесный состав силана, обогащенного изотопом кремния  $^{29}\text{Si}$  до 99,9 % ат. Идентифицированы 32 примесных вещества: углеводороды  $\text{C}_3 - \text{C}_9$ , алкилсиланы, гомологи силана, силоксаны, фтортрисилоксан. Впервые получены масс-спектры примесей  $\text{Si}_2\text{H}_6$ ,  $\text{Si}_3\text{H}_8$ , *n*- $\text{Si}_4\text{H}_{10}$ , изо- $\text{Si}_4\text{H}_{10}$ ,  $\text{Si}_2\text{H}_6\text{O}$ ,  $\text{Si}_3\text{H}_8\text{O}_2$ , *n*- $\text{Si}_4\text{H}_{10}\text{O}_3$ , изо- $\text{Si}_4\text{H}_{10}\text{O}_3$ ,  $\text{Si}_3\text{H}_7\text{FO}_2$ ,  $\text{SiH}_3\text{CH}_3$ ,  $\text{SiH}_3\text{C}_2\text{H}_5$ ,  $(\text{SiH}_3)_2\text{CH}_2$ ,  $\text{Si}_2\text{H}_5\text{CH}_3$ ,  $\text{SiC}_3\text{H}_{10}$ , обогащенных изотопом кремния  $^{29}\text{Si}$ .

**Ключевые слова:** хромато-масс-спектрометрия; идентификация; изотопно-обогащенный силан; примеси; масс-спектры.

Силан высокой чистоты является исходным веществом для получения высокочистого кремния, который

находит широкое применение в высокоточных технологиях. В последнее время возрастает научный

<sup>1</sup> Институт химии высококачественных веществ им. Г. Г. Девярых РАН, г. Нижний Новгород, Россия; e-mail: sozin@ihps.nnov.ru

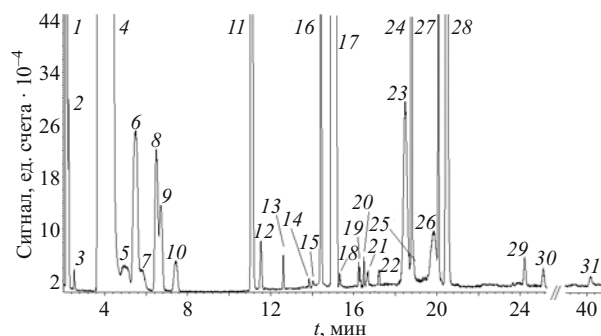
<sup>2</sup> Нижегородский государственный университет им. Н. И. Лобачевского, г. Нижний Новгород, Россия.

интерес к исследованиям свойств изотопно-обогащенного кремния, а также созданию новых материалов и функциональных устройств на его основе. Он является перспективным для создания квантового компьютера, повышения теплопроводности элементов интегральных схем, уточнения числа Авогадро и других целей [1].

Получение высокочистого изотопно-обогащенного кремния основано на термическом разложении его гидроксида [2]. Наиболее вероятный путь поступления примесей в кремний — их переход из исходного силана, поэтому исследование примесного состава изотопно-обогащенного силана является актуальной задачей. Широкое применение для определения примесей в силане нашли методы газовой хроматографии, хромато-масс-спектрометрии и ИК-Фурье спектроскопии [3 – 5]. Наиболее перспективным из них, обладающим возможностью быстрой идентификации примесей и высокой чувствительностью их определения, является хромато-масс-спектрометрия. Этот метод применен для анализа силана природного изотопного состава и обогащенного изотопом  $^{28}\text{Si}$  [4, 6 – 12]. В этих работах в силане были определены примеси постоянных газов, предельных, непредельных, ароматических и галогенсодержащих углеводородов, алкилсиланов, гомологов силана, силоксанов и их фторпроизводных. Данных по определению примесного состава силана, обогащенного изотопом  $^{29}\text{Si}$ , не обнаружено.

Целью настоящей работы являлось исследование примесного состава изотопно-обогащенного силана  $^{29}\text{SiH}_4$  методом хромато-масс-спектрометрии.

Изотопно-обогащенный силан  $^{29}\text{SiH}_4$  содержал следующие изотопы кремния:  $^{28}\text{Si}$  —  $0,041 \pm 0,010$  %;  $^{29}\text{Si}$  —  $99,909 \pm 0,019$  %,  $^{30}\text{Si}$  —  $0,050 \pm 0,015$  % [13]. Изотопно-обогащенный силан был получен восстановлением изотопно-обогащенного тетрафторида кремния [13, 14]. Исследован силан, очищенный методом низкотемпературной ректификации, и его фракции, обогащенные примесями. Анализ силана проводили с использованием хромато-масс-спектрометра Agilent 6890/MSD 5973N. Масс-спектры регистрировали в режиме ионизации электронным ударом (энергия электронов — 70 эВ). Температура источника ионов составляла 150 °С, температура квадрульного фильтра масс — 106 °С, температура интерфейса — 200 °С. Для разделения примесей использовали капиллярную адсорбционную колонку  $25 \text{ м} \times 0,26 \text{ мм}$ ,  $df = 0,25 \text{ мкм}$  с сорбентом политриметилсилилпропином [15]. В качестве газа-носителя применяли гелий марки 7.0 (ТУ 0271-001-45905715-02). Линейная скорость газа-носителя в колонке составляла 30 см/с. Начальная температура колонки — 30 °С (8 мин), затем ее повышали со скоростью 10 °С/мин до 130 °С и выдерживали до окончания анализа. Во время выхода из колонки основного компонента (силана) питание детектора отключали для исключения перегорания катода ионного источника.



**Рис. 1.** Хроматограмма образца силана  $^{29}\text{SiH}_4$ , полученная с использованием колонки с сорбентом политриметилсилилпропином ( $25 \text{ м} \times 0,26 \text{ мм}$ ,  $df = 0,25 \text{ мкм}$ ): 1 —  $\text{CH}_3\text{SiH}_3$ ; 2 —  $\text{C}_3\text{H}_6$ ; 3 —  $\text{C}_3\text{H}_8$ ; 4 —  $\text{Si}_2\text{H}_6$ ,  $\text{Si}_2\text{OH}_6$ ; 5 —  $\text{C}_2\text{H}_5\text{SiH}_3$ ; 6 —  $\text{C}_4\text{H}_8$  (2-метилпроп-1-ен); 7 — изо- $\text{C}_4\text{H}_{10}$ ; 8 —  $\text{C}_4\text{H}_8$  (бут-1-ен); 9 —  $\text{C}_4\text{H}_8$  (бут-2-ен); 10 — *n*- $\text{C}_4\text{H}_{10}$ ; 11 —  $(\text{SiH}_3)_2\text{CH}_2$ ; 12 —  $\text{X}_1$ ; 13 —  $\text{X}_2$ ; 14 — *n*- $\text{C}_5\text{H}_{12}$ ; 15 —  $\text{Si}_3\text{O}_2\text{FH}_7$ ; 16 —  $\text{Si}_3\text{O}_2\text{H}_8$ ; 17 —  $\text{Si}_3\text{H}_8$ ; 18 —  $\text{C}_6\text{H}_6$ ; 19 —  $(\text{C}_2\text{H}_5)_2\text{SiH}_2$ ; 20 —  $\text{C}_6\text{H}_{10}$  (3-метилциклопентен); 21 —  $\text{C}_6\text{H}_{10}$  (циклогексен); 22 — *n*- $\text{C}_6\text{H}_{14}$ ; 23 — изо- $\text{Si}_4\text{O}_3\text{H}_{10}$  (тетрасилоксан); 24 —  $\text{C}_7\text{H}_8$  (толуол); 25 — *n*- $\text{Si}_4\text{O}_3\text{H}_{10}$  (тетрасилоксан); 26 — изо- $\text{Si}_4\text{H}_{10}$ ; 27 — *n*- $\text{C}_7\text{H}_{16}$ ; 28 — *n*- $\text{Si}_4\text{H}_{10}$ ; 29 —  $\text{C}_8\text{H}_{18}$  (2-метилгептан); 30 — *n*- $\text{C}_8\text{H}_{18}$ ; 31 — *n*- $\text{C}_9\text{H}_{20}$

Время включения катода составляло 1,90 мин после начала анализа.

Дозирование силана в хроматографическую колонку осуществляли из системы пробоотбора из нержавеющей стали, описанной в работе [6]. Объем газообразной пробы, вводимый в колонку, составлял 50 мкл при давлении до 1 атм.

На рис. 1 приведена хроматограмма фракции  $^{29}\text{SiH}_4$  со сконцентрированными примесями, на которой зарегистрирован 31 пик. Примеси, которым соответствуют хроматографические пики 2, 3, 6–11, 14, 18, 20–22, 24, 27, 29–31, идентифицированы сравнением экспериментальных масс-спектров с данными базы NIST как  $\text{C}_3\text{H}_6$ ,  $\text{C}_3\text{H}_8$ ,  $\text{C}_4\text{H}_8$  (2-метилпроп-1-ен), изо- $\text{C}_4\text{H}_{10}$ ,  $\text{C}_4\text{H}_8$  (бут-1-ен),  $\text{C}_4\text{H}_8$  (бут-2-ен), *n*- $\text{C}_4\text{H}_{10}$ , *n*- $\text{C}_5\text{H}_{12}$ ,  $\text{C}_6\text{H}_6$ ,  $\text{C}_6\text{H}_{10}$  (3-метилциклопентен),  $\text{C}_6\text{H}_{10}$  (циклогексен), *n*- $\text{C}_6\text{H}_{14}$ ,  $\text{C}_7\text{H}_8$  (толуол), *n*- $\text{C}_7\text{H}_{16}$ ,  $\text{C}_8\text{H}_{18}$  (2-метилгептан), *n*- $\text{C}_8\text{H}_{18}$  и *n*- $\text{C}_9\text{H}_{20}$ . Коэффициенты подобия их масс-спектров и библиотечных составили 0,87–0,95.

На рис. 2 приведены масс-спектры силана природного изотопного состава и обогащенного изотопом  $^{29}\text{Si}$ . Видно, что в масс-спектре  $^{29}\text{SiH}_4$  не обнаружены ионы с массами 28 и 33, в элементный состав которых входят только изотопы  $^{28}\text{Si}$  и  $^{30}\text{Si}$  соответственно. Поэтому в составе других ионов доля этих изотопов кремния незначительна. Можно полагать, что масс-спектр  $^{29}\text{SiH}_4$  составляют ионы  $^{29}\text{Si}^+$ ,  $^{29}\text{SiH}^+$ ,  $^{29}\text{SiH}_2^+$  и  $^{29}\text{SiH}_3^+$ . Интенсивности пиков с  $m/z$  29, 30, 31 и 32 (см. рис. 2, а) равны 28, 33, 100 и 82 % соответственно. Они близки к интенсивностям пиков с  $m/z$  28, 29, 30 и 31 (см. рис. 2, б) в масс-спектре силана природного изотопного состава: 27, 29, 100 и 78 % соответственно. Следовательно, в масс-спектре  $^{29}\text{SiH}_4$  по сравне-

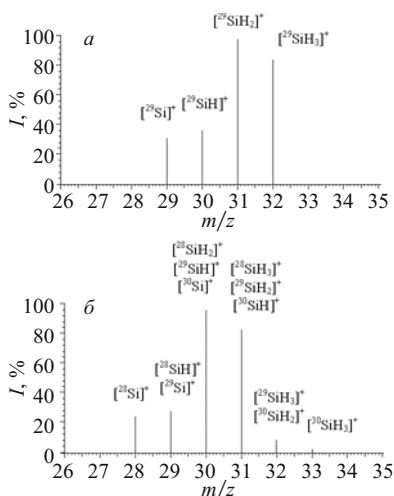


Рис. 2. Масс-спектр силана, обогащенного изотопом  $^{29}\text{Si}$  (а) и силана природного изотопного состава (б)

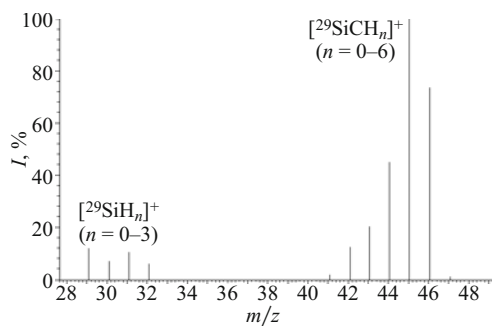


Рис. 3. Масс-спектр  $^{29}\text{SiH}_3\text{CH}_3$

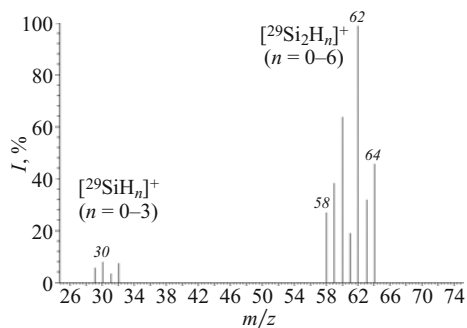


Рис. 4. Масс-спектр  $^{29}\text{Si}_2\text{H}_6$

нию с  $\text{SiH}_4$  массы основных ионов увеличились на 1 а.е.м., а отношения интенсивностей их пиков изменились незначительно.

Масс-спектры примесей, которым соответствуют хроматографические пики 1, 4, 5, 11, 15 – 17, 19, 23, 25, 26, 28, имели коэффициенты подобия с библиотечными, не превышающие 0,39. Во всех масс-спектрах присутствуют пики с  $m/z$  29 – 32, характерные для  $^{29}\text{SiH}_4$ . Это указывает на их возможную принадлежность кремнийсодержащим примесям. Идентификацию этих примесей осуществляли с использованием

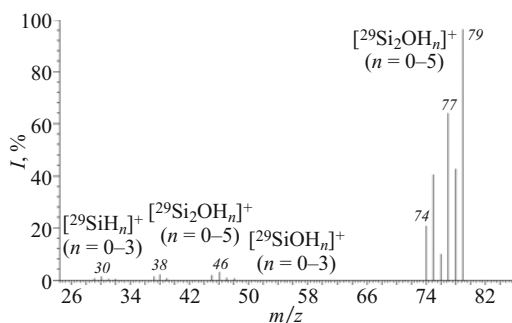


Рис. 5. Масс-спектр  $^{29}\text{Si}_2\text{H}_6\text{O}$

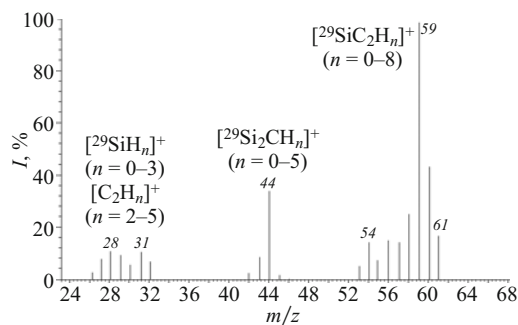


Рис. 6. Масс-спектр  $^{29}\text{SiH}_3\text{C}_2\text{H}_5$

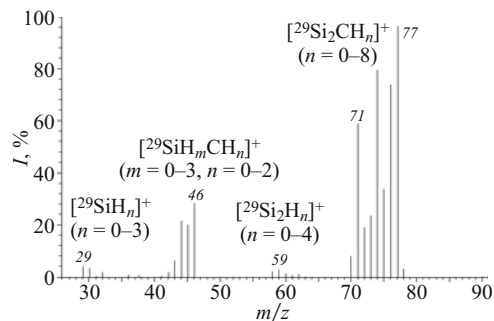


Рис. 7. Масс-спектр  $(^{29}\text{SiH}_3)_2\text{CH}_2$

данных по временам удерживания кремнийсодержащих веществ [9], а также сравнением их экспериментальных масс-спектров с известными из литературы [4, 6, 9]. Сравнение времен удерживания показало, что данными примесями могут являться алкилпроизводные силана, его гомологи, полисилоксаны и фтортрисилоксан.

На рис. 3 – 13 представлены экспериментальные масс-спектры рассматриваемых примесей и указан состав ионов, соответствующих каждой группе пиков.

При сравнении экспериментальных масс-спектров с приведенными в базе данных NIST ( $\text{SiH}_3\text{CH}_3$ ,  $\text{SiH}_3\text{C}_2\text{H}_5$ ,  $(\text{SiH}_3)_2\text{CH}_2$ ,  $\text{Si}_3\text{H}_8$  и  $(\text{C}_2\text{H}_5)_2\text{SiH}_2$ ) и работах [4, 6, 9] ( $\text{Si}_2\text{H}_6$ , *n*- $\text{Si}_4\text{H}_{10}$ , изо- $\text{Si}_4\text{H}_{10}$ ,  $\text{Si}_2\text{H}_6\text{O}$ ,  $\text{Si}_3\text{H}_8\text{O}_2$ , *n*- $\text{Si}_4\text{H}_{10}\text{O}_3$ , изо- $\text{Si}_4\text{H}_{10}\text{O}_3$ ,  $\text{Si}_3\text{H}_7\text{FO}_2$ ) видны группы пиков с одинаковыми отношениями интенсивностей. Однако массы соответствующих ионов отличаются на 1 а.е.м., если фрагментный ион содержит 1 атом крем-

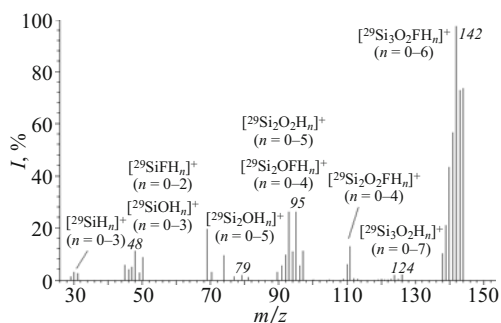


Рис. 8. Масс-спектр  $^{29}\text{Si}_3\text{O}_2\text{FH}_7$

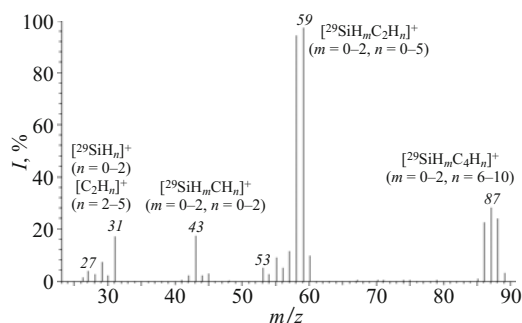


Рис. 11. Масс-спектр примеси  $(\text{C}_2\text{H}_5)_2\text{SiH}_2$

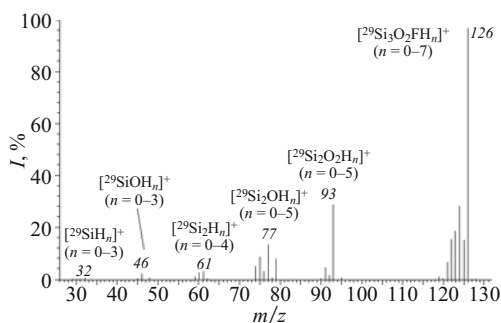


Рис. 9. Масс-спектр  $^{29}\text{Si}_3\text{H}_8\text{O}_2$

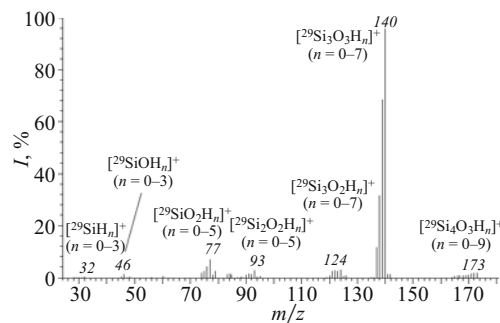


Рис. 12. Масс-спектр изо- $^{29}\text{Si}_4\text{H}_{10}\text{O}_3$  и *n*- $^{29}\text{Si}_4\text{H}_{10}\text{O}_3$

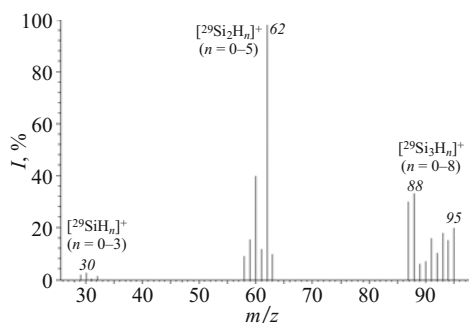


Рис. 10. Масс-спектр  $^{29}\text{Si}_3\text{H}_8$

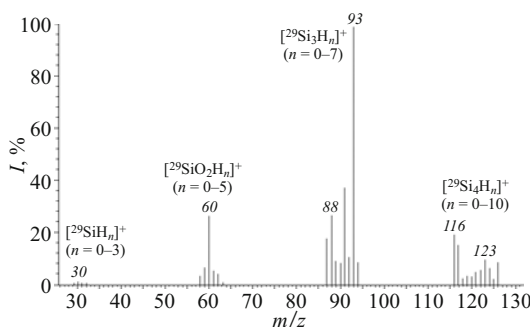


Рис. 13. Масс-спектр изо- $^{29}\text{Si}_4\text{H}_{10}$  и *n*- $^{29}\text{Si}_4\text{H}_{10}$

ния, и на 2, 3 или 4 а.е.м. при наличии 2, 3 или 4 атомов кремния в его составе соответственно. Это возможно при замене изотопа  $^{28}\text{Si}$  на изотоп  $^{29}\text{Si}$ . Следовательно, примеси, содержащие атомы кремния, являются изотопно-обогащенными.

Примеси, которым соответствуют хроматографические пики 12 и 13, не удалось идентифицировать по временам удерживания и сравнением масс-спектров с известными из литературных источников. В основу идентификации этих соединений было положено восстановление их состава и структуры по осколочным ионам, образованным в результате диссоциативной ионизации электронным ударом.

На рис. 14 приведен масс-спектр примеси 12: видны четыре группы пиков ионов с  $m/z$  29 – 32, 42 – 46, 58 – 63 и 70 – 79.

Пики ионов с массами 29 – 32 а.е.м. могут соответствовать ионам  $[^{29}\text{SiH}_n]^+$ , где  $n = 0 - 3$ , поскольку

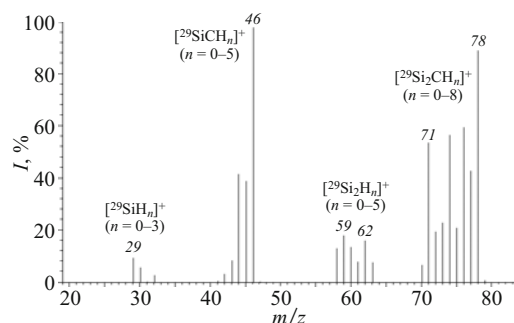


Рис. 14. Масс-спектр примеси 12

они присутствуют во всех масс-спектрах кремнийсодержащих примесей  $^{29}\text{SiH}_4$ . Группа пиков ионов с массами 58 – 63 а.е.м. характерна для гомологов силана (см. рис. 4, 10, 12), ее составляют ионы  $[^{29}\text{Si}_2\text{H}_n]^+$ ,

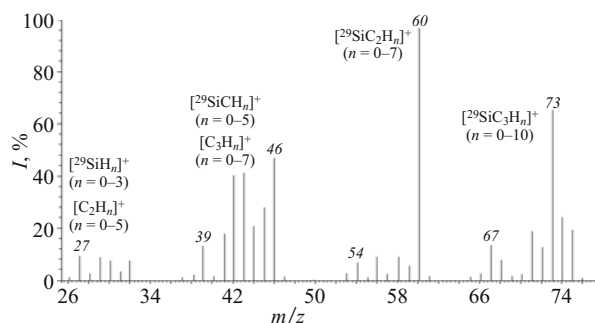


Рис. 15. Масс-спектр примеси 13

где  $n = 0 - 5$ . Поэтому наиболее вероятно принадлежность исследуемой примеси к производным дисилана. Наиболее интенсивный пик с  $m/z$  78 может принадлежать молекулярному иону. Тогда разница между пиками с  $m/z$  78 и 63 составляет 15 а.е.м., что может соответствовать фрагменту  $\text{CH}_3$ . Наличие одного атома углерода в молекуле подтверждается тем, что интенсивность пика с  $m/z$  79 относительно пика с  $m/z$  78 составляет 1%. Это в пределах погрешности соответствует природному соотношению изотопов  $^{12}\text{C}$  и  $^{13}\text{C}$  [16]. В этом случае пики с  $m/z$  70–78 образованы ионами  $[\text{Si}_2\text{CH}_n]^+$ , где  $n = 0 - 8$ . Фрагментация происходит в результате потери частиц  $\text{CH}_3$  (пики с  $m/z$  58–63, образованные ионами  $[\text{Si}_2\text{H}_n]^+$ , где  $n = 0 - 5$ ). Пики с  $m/z$  42–46 соответствуют ионам  $[\text{SiCH}_n]^+$ , где  $n = 0 - 5$ , а с  $m/z$  29–32 — ионам  $[\text{SiH}_n]^+$ , где  $n = 0 - 3$ . Таким образом, данная примесь является метилдисиланом, обогащенным изотопом  $^{29}\text{Si}$ .

Масс-спектр примеси 13 приведен на рис. 15.

Как и в вышерассмотренном случае, в нем можно выделить четыре группы пиков. Интенсивные пики с самым большим значением  $m/z$  в этих группах соответствуют ионам с массой 32, 46, 60 и 77 а.е.м. Пики с  $m/z$  29–32 и 41–46 характерны для масс-спектра обогащенного изотопом  $^{29}\text{Si}$  метилсилана. Если высокоинтенсивный пик с  $m/z$  75 образован молекулярным ионом, а интенсивность пика с  $m/z$  76 составляет 3,2% от его интенсивности, то можно полагать, что в молекуле данного вещества три атома углерода. Эта примесь может иметь формулу  $\text{C}_3\text{H}_{10}\text{Si}$ . Тогда пики с  $m/z$  65–77 образованы ионами  $[\text{Si}_3\text{H}_n]^+$ , где  $n = 0 - 10$ . При потере частицы  $\text{CH}_3$  формируется группа пиков с  $m/z$  53–60, образованная ионами  $[\text{Si}_2\text{H}_n]^+$ , где  $n = 0 - 7$ . Группа пиков с  $m/z$  41–46 может быть образована ионами  $[\text{SiCH}_n]^+$ , где  $n = 0 - 5$ , на нее налагается группа пиков с  $m/z$  37–43, формируемых ионами  $[\text{C}_3\text{H}_n]^+$ , где  $n = 0 - 7$ . Группу пиков с  $m/z$  26–32 составляют ионы  $[\text{C}_2\text{H}_n]^+$ , где  $n = 2 - 5$ , и  $[\text{SiH}_n]^+$ , где  $n = 0 - 3$ . Данная примесь не является триметилсиланом, поскольку ее ионы отличаются не только увеличением массы на 1 а.е.м., но и относительной интенсивностью пиков по сравнению с масс-спектром, приведенным в библиотеке NIST. Она

может представлять собой *n*-пропил-, изопропил- или метилэтилсилан, обогащенный изотопом  $^{29}\text{Si}$ .

Таким образом, в силане идентифицированы примеси углеводородов  $\text{C}_1 - \text{C}_9$ , бензола, толуола, гомологов силана  $\text{Si}_2 - \text{Si}_4$ , силоксанов, фтортрисилоксана, алкилсиланов. Впервые установлено наличие примесей 3-метилциклопентена, циклогексена, 2-метилгептана, метилдисилана и примеси, отвечающей формуле  $^{29}\text{SiC}_3\text{H}_{10}$ . Показано, что все кремнийсодержащие примеси обогащены изотопом  $^{29}\text{Si}$ .

Присутствие примесей алкилсиланов в изотопно-обогащенном состоянии связано с тем, что они могут образовываться при синтезе силана. Источниками углеводородов для протекания таких реакций могут являться примеси, содержащиеся в изотопно-обогащенном тетрафториде кремния и гидриде кальция [17, 18]. Изотопно-обогащенные гомологи силана образуются в результате реакции конденсации продуктов разложения силана и дисилана [19]. Примеси силоксанов, в том числе фторсодержащих, могут образовываться при взаимодействии силана и тетрафторида кремния с примесями воды [20].

Таким образом, методом хромато-масс-спектрометрии определен примесный состав силана  $^{29}\text{SiH}_4$ . В нем идентифицированы 32 примесных вещества, из них пять — впервые по сравнению с составом примесей в  $\text{SiH}_4$  и  $^{28}\text{SiH}_4$ . Этими веществами являются 3-метилциклопентен, циклогексен, 2-метилгептан, метилдисилан и  $\text{SiC}_3\text{H}_{10}$ . Примеси  $\text{Si}_2\text{H}_5\text{CH}_3$ ,  $\text{SiC}_3\text{H}_{10}$  идентифицированы по осколочным ионам при ионизации электронным ударом. Впервые получены масс-спектры примесей  $\text{Si}_2\text{H}_6$ ,  $\text{Si}_3\text{H}_8$ , *n*- $\text{Si}_4\text{H}_{10}$ , изо- $\text{Si}_4\text{H}_{10}$ ,  $\text{Si}_2\text{H}_6\text{O}$ ,  $\text{Si}_3\text{H}_8\text{O}_2$ , *n*- $\text{Si}_4\text{H}_{10}\text{O}_3$ , изо- $\text{Si}_4\text{H}_{10}\text{O}_3$ ,  $\text{Si}_3\text{H}_7\text{FO}_2$ ,  $\text{SiH}_3\text{CH}_3$ ,  $\text{SiH}_3\text{C}_2\text{H}_5$ ,  $(\text{SiH}_3)_2\text{CH}_2$ ,  $(\text{C}_2\text{H}_5)_2\text{SiH}_2$ ,  $\text{Si}_2\text{H}_5\text{CH}_3$ ,  $\text{SiC}_3\text{H}_{10}$ , обогащенных изотопом кремния  $^{29}\text{Si}$ .

## ЛИТЕРАТУРА

1. Becker P. The silicon-28 path to the Avogadro constant — first experiments and outlook / IEEE Trans. Instrum. Measurement. 1995. Vol. 45. P. 522–525.
2. Девятых Г. Г., Буланов А. Д., Гусев А. В. Получение высокочистого моноизотопного кремния-28 / Доклады АН. 2001. Т. 376. № 4. С. 492–493.
3. Крылов В. А. Анализ высокочистых летучих веществ / Журн. аналит. химии. 2002. Т. 57. № 8. С. 790–802.
4. de Saint Etienne C., Mettes J. Gas phase impurities in silane determined by gas chromatography — mass spectrometry / Analyst. 1989. Vol. 114. P. 1649–1653.
5. Чупров Л. А., Сенников П. Г., Тохадзе К. Г. и др. Примеси в тетрафториде кремния и получаемом из него силане по данным ИК-Фурье-спектроскопии высокого разрешения / Неорг. матер. 2006. Т. 42. № 8. С. 1017–1024.
6. Крылов В. А., Чернова О. Ю., Созин А. Ю. Хроматомасс-спектрометрическая идентификация примесей в изотопно-обогащенном силане / Масс-спектрометрия. 2007. № 4. С. 125–130.
7. Крылов В. А., Сенников П. Г., Чернова О. Ю. и др. Молекулярный анализ изотопно-обогащенного  $^{28}\text{SiF}_4$  и получаемого из него  $^{28}\text{SiH}_4$  / Неорг. матер. 2008. Т. 44. № 7. С. 871–877.
8. Крылов В. А., Созин А. Ю., Зорин В. А. и др. Хроматомасс-спектрометрическое определение примесей в изотопно-обогащенном силане высокой чистоты / Масс-спектрометрия. 2008. Т. 4. С. 225–233.

9. **Крылов В. А., Чернова О. Ю., Созин А. Ю.** Хромато-масс-спектрометрическая идентификация примесей в силане природного изотопного состава и обогащенном  $^{28}\text{Si}$  / Аналитика и контроль. 2011. Т. 5. № 4. С. 421 – 428.
10. **Klokner H. J., Eschwey M.** Hochreines monosilan für die elektronik-industrie-synthese, reinigung und charakterisierung / Chem. Ing. Tech. 1988. Vol. 60. N 11. P. 815 – 826.
11. **Morisaco I., Kato T., Ino Y., Schaefer K.** Trace gas detection in high purity gases for semiconductor fabrication with a new GC/MS system / Int. J. Mass Spectrom. Ion Phys. 1983. Vol. 48. P. 19 – 22.
12. **Cambria T., McManus J.** Identification and removal of impurities in silane and dichlorsilane gas streams / Solid State Technol. 1990. Vol. 50. P. 95 – 98.
13. **Буланов А. Д., Трошин О. Ю., Котков А. П. и др.** Получение высокочистых моноизотопных силанов  $^{29}\text{SiH}_4$  и  $^{30}\text{SiH}_4$  / Перспективные материалы. 2010. Спец. вып. 8. С. 341 – 344.
14. **Девятых Г. Г., Дианов Е. М., Буланов А. Д. и др.** Получение высокочистого моноизотопного силана:  $^{28}\text{SiH}_4$ ,  $^{29}\text{SiH}_4$ ,  $^{30}\text{SiH}_4$  / Доклады АН. 2003. Т. 391. № 5. С. 638 – 639.
15. **Березкин В. Г., Королев А. А., Хотимский В. С.** Политриметилсилпропин как адсорбент в капиллярной газовой хроматографии / Доклады АН. 2000. Т. 370. С. 200 – 204.
16. **Лебедев А. Т.** Масс-спектрометрия в органической химии. — М.: БИНОМ. Лаборатория знаний, 2003. — 493 с.
17. **Крылов В. А., Сорочкина Т. Г.** Газохроматографическое определение микропримесей углеводородов  $\text{C}_1 - \text{C}_4$  в тетрафториде кремния высокой чистоты / Журн. аналит. химии. 2005. Т. 60. № 12. С. 1262 – 1266.
18. **Трошин О. Ю.** Получение высокочистого моноизотопного силана  $\text{Si}^{28}\text{H}_4$ : дис. ... канд. хим. наук. — Н. Новгород, 2004. 103 с.
19. **Брауэр Г.** Руководство по неорганическому синтезу. Т. 3. — М.: Мир, 1985. — 392 с.
20. **Белов Е. П.** Моносилан в технологии полупроводниковых материалов. — М.: НИИТЭХИМ, 1989. — 37 с.
- ane [Gas chromatography-mass-spectrometric identification of impurities in isotopically enriched silane] / Mass-spektrometriya. 2007. N 4. P. 125 – 130 [in Russian].
7. **Krylov V. A., Sennikov P. G., Chernova O. Yu., et al.** Molekulyarny analiz izotopno-obogashchennogo  $^{28}\text{SiF}_4$  i poluchaemogo iz nego  $^{28}\text{SiH}_4$  [Molecular analysis of isotope-enriched  $^{28}\text{SiF}_4$  and obtained from him  $^{28}\text{SiH}_4$ ] / Neorg. Mater. 2008. Vol. 44. N 7. P. 871 – 877 [in Russian].
8. **Krylov V. A., Sozin A. Yu., Zorin V. A., et al.** Khromatomass-spektrometricheskoe opredelenie primesei v izotopno-obogashchennom silane vysokoi chistoty [Gas chromatography-mass spectrometric determination of impurities in isotopically enriched high-purity silane] / Mass-spektrometriya. 2008. N 4. P. 225 – 233 [in Russian].
9. **Krylov V. A., Chernova O. Yu., Sozin A. Yu.** Khromato-mass-spektrometricheskaya identifikatsiya primesei v silane prirodnogo izotopnogo sostava i obogashchennom  $^{28}\text{Si}$  [Chromatography-mass spectrometric identification of impurities in silane natural isotopic composition and enriched  $^{28}\text{Si}$ ] / Analit. Kontrol'. 2011. Vol. 5. N 4. P. 421 – 428 [in Russian].
10. **Klokner H. J., Eschwey M.** Hochreines monosilan für die elektronik-industrie-synthese, reinigung und charakterisierung / Chem. Ing. Tech. 1988. Vol. 60. N 11. P. 815 – 826.
11. **Morisaco I., Kato T., Ino Y., Schaefer K.** Trace gas detection in high purity gases for semiconductor fabrication with a new GC/MS system / Int. J. Mass Spectrom. Ion Phys. 1983. Vol. 48. P. 19 – 22.
12. **Cambria T., McManus J.** Identification and removal of impurities in silane and dichlorsilane gas streams / Solid State Technol. 1990. Vol. 50. P. 95 – 98.
13. **Bulanov A. D., Troshin O. Yu., Kotkov A. P., et al.** Poluchenie vysokochistyykh monoizotopnykh silanov  $^{29}\text{SiH}_4$  i  $^{30}\text{SiH}_4$  [Production of high-purity monoisotopic silanes  $^{29}\text{SiH}_4$  and  $^{30}\text{SiH}_4$ ] / Persp. Mater. 2010. Spec. Issue 8. P. 341 – 344 [in Russian].
14. **Devyatikh G. G., Dianov E. M., Bulanov A. D., et al.** Poluchenie vysokochistogo monoizotopnogo silana:  $^{28}\text{SiH}_4$ ,  $^{29}\text{SiH}_4$ ,  $^{30}\text{SiH}_4$  [Production of high-purity monoisotopic silane] / Dokl. Akad. Nauk. 2003. Vol. 391. N 5. P. 638 – 639 [in Russian].
15. **Berezkin V. G., Korolev A. A., Khotimskii V. S.** Politrimetilsilpropin kak adsorbent v kapillyarnoi gazovoi khromatografii [Polytrimethylsilylpropin as adsorbent in capillary gas chromatography] / Dokl. Akad. Nauk. 2000. Vol. 370. N 3. P. 200 – 204 [in Russian].
16. **Lebedev A. T.** Mass-spektrometriya v organicheskoi khimii [Mass-spectrometry in organic chemistry]. — Moscow: BINOM. Laboratoriya znaniy, 2003. — 493 p. [in Russian].
17. **Krylov V. A., Sorochkina T. G.** Gazokhromatograficheskoe opredelenie mikroprimesei uglevodorodov  $\text{C}_1 - \text{C}_4$  v tetraftoride kremniya vysokoi chistoty [Gas chromatographic determination of trace hydrocarbons  $\text{C}_1 - \text{C}_4$  in the high-purity silicon tetrafluoride] / Zh. Analit. Khimii. 2005. Vol. 60. N 12. P. 1262 – 1266 [in Russian].
18. **Troshin O. Yu.** Poluchenie vysokochistogo monoizotopnogo silana  $\text{Si}^{28}\text{H}_4$  [Production of high-purity monoisotopic silane  $\text{Si}^{28}\text{H}_4$ ]. Author's Abstract of Candidate's Thesis. — N. Novgorod, 2004. — 103 p. [in Russian].
19. **Brauer G.** Rukovodstvo po neorganicheskomu sintezu [Guidance on inorganic synthesis]. Vol. 3. — Moscow: Mir, 1985. — 392 p. [Russian translation].
20. **Belov E. P.** Monosilan v tekhnologii poluprovodnikovyykh materialov [Monosilane in technology of semiconductor materials]. — Moscow: Izd. NIITEKHIM, 1989. — 37 p. [in Russian].

## REFERENCES